

中子辐照含氢硅单晶低温 Si-H 吸收峰的研究*

祁明维 施天生 蔡培新 白国仁 谢雷鸣

(中国科学院上海冶金研究所)

高集金 李石岭

(中国科学院原子能研究所)

摘要——本文用傅里叶变换红外吸收低温(10K)光谱研究中子辐照氢气区熔硅单晶的Si-H吸收峰。发现比室温光谱有更多的与氢有关的吸收峰，观察到 1980 cm^{-1} 吸收峰的精细结构。确定 1889 cm^{-1} 与 817 cm^{-1} 吸收峰的相关性，观察到低温峰有比室温更明确的退火行为。对一些吸收峰的组态进行了讨论。

一、引言

NTD 硅单晶的广泛应用，要求了解中子辐照在硅中所引入缺陷的性质和行为。硅中氢可以饱和缺陷处的悬键，形成 Si-H 键，引起相应的红外吸收峰。近年来，中子辐照含氢硅单晶中 Si-H 红外吸收峰的研究受到了注意^[1,2]。

本文报导中子辐照含氢区熔硅单晶的低温(10K)下红外吸收光谱的研究结果。与室温光谱的研究相比，发现了更多的与氢有关的吸收峰，观察到室温 1980 cm^{-1} 峰的精细结构。确定了一些吸收峰之间的相关性，得到比室温更明确的退火行为。在本实验结果的基础上对一些吸收峰的组态进行了讨论。

二、实验方法

将<111>晶向、电阻率 $\rho > 400 \Omega\text{cm}$ 的含氢 N 型区熔硅单晶切割成 5 mm 厚的试样，两面抛光成镜面，在轻水堆中辐照。剂量为 $3.69 \times 10^{17} \text{n/cm}^2$ ，辐照时试样温度约为 40°C，镉比为 10:1。辐照后将试样在 100~600°C 间纯氮气氛下进行各温度下的等时退火。退火温

本文 1987 年 1 月 9 日收到。

中国科学院科学基金资助课题。

度间隔 25~50°C, 保温时间 30 min。试样经氢氟酸去氧化层后, 装入微型循环致冷器冷却到 10K, 保温 10 min, 在 NIC-71990 傅里叶变换红外光谱仪中进行红外吸收测试。采样次数为 400, 分辨率为 0.7 cm^{-1} 。

三、实验结果

含氢样品辐照前后的伸缩和弯曲振动区的低温 (10K) 光谱示于图 1。从图中可以看出在 Si-H 伸缩振动区有 13 个吸收峰:

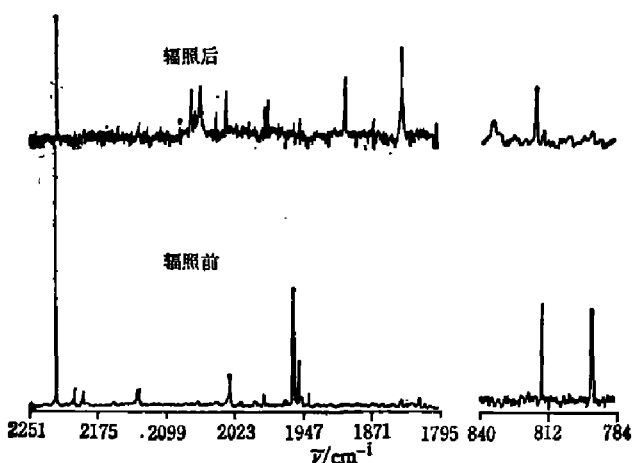


图 1 含氢试样在中子辐照前后的低温 (10K) 吸收光谱

Fig. 1 Absorption spectra of the sample containing hydrogen before and after neutron irradiation at a low temperature (10K).

2202(2191)、2192(2191) cm^{-1} 等吸收峰因强度太弱, 淹没在噪声中, 无法分辨。

用氘代替氢的中子辐照样品在上述区域中均无吸收峰出现。但在 1339 cm^{-1} 处发现了对应于强峰 1839 cm^{-1} 的由于同位素位移引起的吸收峰, 表明这些吸收峰都是 Si-H 振动峰。

在退火过程中, 辐照产生的缺陷经过复杂的聚集和分解反应会演变为新的二次缺陷, 导致旧的 H—缺陷复合体的消失和新的 H—缺陷复合体的产生, 相应地, 原有的 Si-H 吸收峰会逐渐演变为新的 Si-H 吸收峰。

等时退火过程中 Si-H 吸收峰的消失、产生和转化的情况示于图 2。为清楚起见, 图 2 按中子辐照产生的吸收峰消失温度分成三类, 分别示于图 2(a)、2(b) 及 2(c) 中。为明确起见, 在图 2(b) 及 2(c) 中只画出强峰的退火曲线。第一类是在 $175\sim300^\circ\text{C}$ 间消失的红外吸收峰, 除 1932 cm^{-1} 峰外它们都是中子辐照后立即出现的吸收峰, 包括 2085、2062、2045、2033、1990、1987、1932、1901、 1839 cm^{-1} 等峰。第二类红外吸收峰在 $350\sim400^\circ\text{C}$ 间退火, 属于这一类的有 2072、2068 cm^{-1} 二个峰。第三类在 550°C 左右退火, 包括 1971、1972、1977、1980、1985、1987、1990、1993、 2016 cm^{-1} 等吸收峰。

中子辐照试样在伸缩振动区除原有本征 Si-H 吸收峰外, 呈现 Si-H 吸收峰共有 44 个, 比室温光谱呈现的峰要多一倍以上^[2]。其中部分峰的出现和退火温度综合在表 1 中。

低温 (10K) 下, 从室温峰 1980 cm^{-1} 分裂出来的两个峰 (1990 、 1987 cm^{-1}) 的强度有较高的相关性, 相关系数 $R=0.89$, 看来来源于同一振动中心。它们在 300°C 退火消失, 而后又

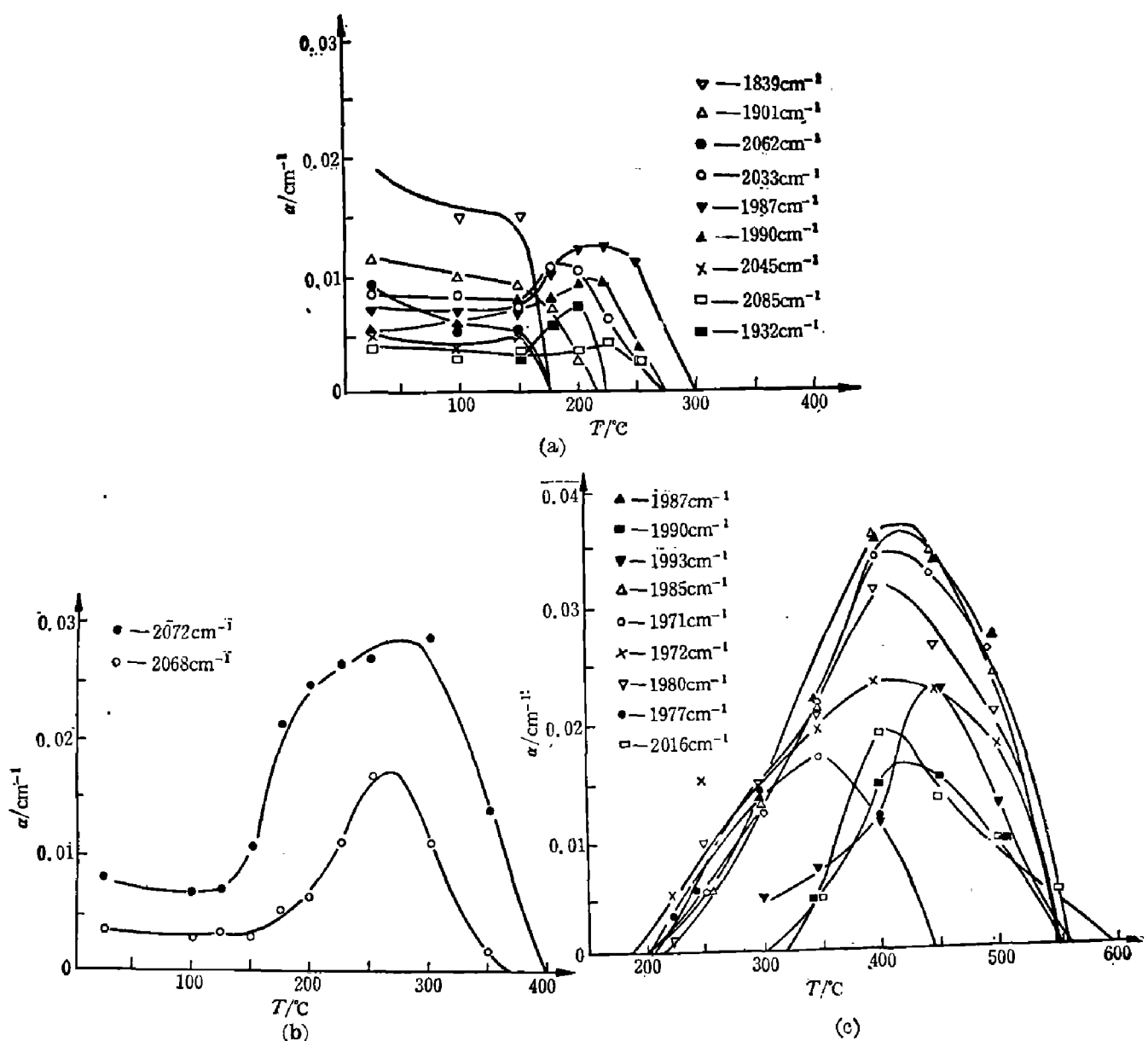


图 2 吸收系数 α 随退火温度 T 的变化。

Fig. 2 Variation of IR absorption coefficient α with annealing temperature T .

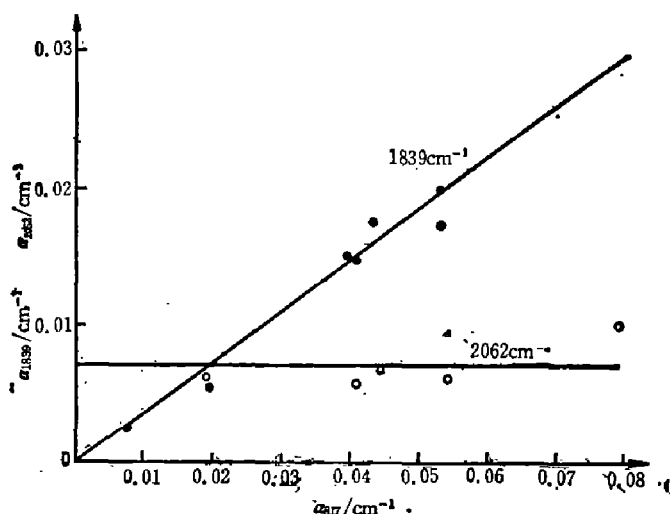


图 3 1839、2062 cm^{-1} 吸收峰的吸收系数与 817 cm^{-1} 吸收峰的相关关系

Fig. 3 IR absorption coefficients with respect to peaks at 1839 and 2062 cm^{-1} vs. peak at 817 cm^{-1} .

表1 Si-H 伸缩振动区的部分吸收峰及其退火温度

Table 1 Annealing temperatures and several absorption peaks in the Si-H stretching vibration region.

ν (cm ⁻¹)	温 度													T (°C)		
	R. T.	100	125	150	175	200	225	250	300	350	400	450	500	550	600	类别
1839†	*	*	*	*	*											
1901†	✓	✓	✓	✓	✓	✓	✓									
1932†				✓	✓	✓	✓									
1987†	✓	✓	✓	✓	✓	✓	✓	✓	✓	✓						I
1990†	✓	✓	✓	✓	✓	✓	✓	✓	✓	✓						
2033†	✓	✓	✓	✓	✓	✓	✓	✓	✓	✓						
2045	✓	✓	✓	✓	✓											
2062†	✓	✓	✓	✓	✓											
2085	✓	✓	✓	✓	✓	✓	✓	✓	✓							
2068	*	*	*	*	*	*	*	*	*	*						II
2072†	*	*	*	*	*	*	*	*	*	*	*	*				
1971							*	*	*	*	*	*	*	*	*	
1972							*	*	*	*	*	*	*	*	*	
1977†							*	*	*	*	*	*				
1980							*	*	*	*	*	*	*	*	*	III
1985							*	*	*	*	*	*	*	*	*	
1987								*	*	*	*	*	*	*	*	
1990									*	*	*	*	*	*	*	
1993†								*	*	*	*	*	*	*	*	
2016									*	*	*	*	*	*	*	

*—强峰,

✓—弱峰,

†—对应于文献[2]中发表的吸收峰。

出现两个频率类似的峰 1990 和 1987 cm⁻¹, 但热稳定性比前者高得多, 在 550°C 才消失。

Si-H 伸缩振动区的 1839 cm⁻¹ 峰与弯曲振动区的 817 cm⁻¹ 峰密切相关, 相关系数 $R=0.98$ (参见图 3), 说明它们属于同一振动中心。另一个吸收峰 2062 cm⁻¹ 与它们之间没有相关性, 表明该峰对应于另一个振动中心。

四、讨论和小结

1. 快中子的能量高、质量大, 辐照时传递给点阵原子的能量大大超过离位能, 因此产生的缺陷比较复杂。同时因辐照是在室温进行的, 间隙原子、单空位等初级缺陷可以自由移

动、相互复合或组合成较复杂的缺陷，更增加了问题的复杂性。

2. 与 γ 辐照^[3]、电子辐照^[4]的情况相类似， 1839 cm^{-1} 峰也是中子辐照后最强的吸收峰，它与 817 cm^{-1} 峰密切线性相关，说明它们属于同一振动中心。在含氘试样中，它的频率移到 1339 cm^{-1} ，而在含氘氢试样中， 1839 cm^{-1} 峰不分裂，表明它确是含有一个氢原子的振动峰。关于它的具体结构在文献中曾有过很多讨论，但至今没有一致的意见。Mukashev等^[5]认为它是由四空位旁边处反键位置的间隙氢原子引起的。施天生等^[6]和张玉峰等^[2]则认为是由四空位中的氢构成的(SiH)SiH结构引起的。杜永昌等^[3]最近提出是由单空位中一个氢引起的，这与张正南等^[1]所提出的— $\begin{array}{c} \text{Si} \\ | \\ \text{H} \end{array} \cdots \begin{array}{c} \text{Si} \\ | \\ \text{H} \end{array}$ —结构一致。我们认为要得出明确的结论还需作进一步的研究。

3. 辐照后试样中出现的 1980 cm^{-1} 峰在低温下分裂成相关的 1990 和 1987 cm^{-1} 两个峰，这个结果与电子辐照^[4]的结果完全一致，表明它们来源于同一振动中心，且含有两个氢。杜永昌等^[3]和施天生等^[4]根据它的退火行为、精细结构和频率位置，把它指派为空位加两个氢，看来是适当的。这两个峰在 $\sim 300^\circ\text{C}$ 消失后又出现频率位置相似的两个峰 1990 和 1987 cm^{-1} ，其热稳定性高到 550°C 才消失，看来与前者在本质上是不同的。

4. 中子辐照后含氢硅单晶中出现的Si-H吸收峰在频率位置和退火行为上都与质子注入的硅单晶十分类似，表明两者有类似的辐照缺陷结构。这类峰有一个共同的特点，即稳定性差，在 300°C 以下即消失。

5. 等时退火时，当第一类吸收峰消失时，第二类吸收峰增强，并在 $\sim 275^\circ\text{C}$ 达到峰值。同样，当第二类吸收峰迅速下降时，在 $\sim 420^\circ\text{C}$ 处第三类吸收峰达到峰值。表明它们之间有一定的演变关系。这种演变现象在我们的低温红外光谱中表现得特别清楚。

含氢非晶硅^[7]和质子注入单晶硅^[8]在退火时，随着Si-H吸收峰强度的衰减伴随着氢的释放。如果假定吸收峰强度降到峰值一半处为释氢峰的位置，则对应于第二类和第三类吸收峰下降的释氢峰的位置分别为 350 和 520°C 左右。这个结果恰与Brodsky^[7]在a-Si:H中所观察的结果相一致。Tsai等^[9]曾将a-Si:H膜中低温和高温的释氢峰归之于氢从SiH₂和SiH上消除，这点与第二类和第三类Si-H吸收峰所对应的振动频率是一致的，使这两类吸收峰的组态得到比较合理而简明的解释。

参 考 文 献

- [1] 张正南、许振嘉，物理学报，31(1982)，994.
- [2] 张玉峰、杜永昌、翁诗甫、孟祥提、张秉忠，物理学报，34(1985)，849.
- [3] 杜永昌、张玉峰、孟祥提、沈宏扬，中国科学A辑，(7)(1986)，767.
- [4] Shi T. S. et al., Paper presented at The 14th International conference on defects in semiconductors, Paris, 1986.
- [5] Mukasev S. N. et al., Physics Letter, 87(1979), 376.
- [6] Shi T. S. et al., Phys. Stat. Sol., (a)74(1982), 329.
- [7] Brodsky M. H. et al., Appl. Phys. Lett., 30(1977), 561.
- [8] Picraux S. T. et al., Defects and Radiation effects in Semiconductor 1978, Institute of Physics Conference Series, No. 46, p. 31.
- [9] Tsai C. C. et al., Proc. of 7th Int. conf. on Amorphous and liquid Semicond, Ed. W. Spear, 1977.

INVESTIGATION OF Si-H IR ABSORPTION PEAKS IN NEUTRON-IRRADIATED FZ-Si CRYSTAL CONTAINING HYDROGEN AT LOW TEMPERATURE

Qi MINGWEI SHI TIANSHENG CAI PEIXING BAI GUOREN XIE LEIMING

(*Shanghai Institute of Metallurgy, Academia Sinica*)

GAO JIJING LI SHILING

(*Institute of Atomic Energy, Academia Sinica*)

ABSTRACT

The Si-H IR absorption peaks in the neutron-irradiated FZ-Si crystal containing hydrogen are investigated using the low-temperature (10k) Fourier transform infrared absorption spectroscopy. More Hydrogen-related IR peaks than those in the case of room-temperature spectroscopy including the fine structure of the 1980 cm^{-1} peak and the correlation between the 1839 cm^{-1} and 817 cm^{-1} peaks have been found. The annealing behavior of above-mentioned low-temperature peaks is shown more definitely than that at room temperature. The configurations of these peaks are discussed.